



# БИООРГАНИЧЕСКАЯ ХИМИЯ

Том 17 \* № 6 \* 1991

УДК 547.962.541.63

© 1991 г.

*A. Я. Аванов*

## КОНФОРМАЦИОННЫЙ АНАЛИЗ ТАХИКИНИНОВ II\*. N-КОНЦЕВЫЕ ФРАГМЕНТЫ ФИЛОМЕДУЗИНА, ЭЛЕДОЗИНА, КАССИНИНА И НЕЙРОКИНИНОВ

*Институт биохимии АН АрмССР, Ереван*

Выполнен теоретический конформационный анализ N-концевых фрагментов тахикининовых пептидов филомедузина, эледозина, кассинина, нейрокининов А и В. Показано, что они подобно аналогичным фрагментам других тахикининов конформационно очень лабильны. Возможные пространственные формы этих фрагментов находятся в конформационном равновесии и могут легко взаимопревращаться, что не позволяет выделить из них преимущественное конформационное состояние.

В отличие от N-концевого фрагмента вещества Р, проявляющего самосогласительную физиологическую активность [2—5], для соответствующих фрагментов других представителей тахикининов активность не обнаружена. Вместе с тем физиологическая активность вещества Р в той или иной степени повторяется у остальных представителей тахикининов.

Сходная аминокислотная последовательность консервативной С-концевой части тахикининов Phe-X-Gly-Leu-Met-NH<sub>2</sub> наводит на мысль об идентичности механизма их действия. Известно, однако, что для разных тахикининов существуют белковые рецепторы разного типа, причем локализованы они в мембранах нейронов [6]. Под «разнотипностью» рецепторов понимается прежде всего структурное расхождение между ними, по крайней мере в области сайтов связывания тахикининов. Из синтеза receptorных белков, контролируемого РНК из разных тканей, следует, что разница в их структуре обусловлена не только возможной посттрансляционной модификацией [7].

В данной статье рассматриваются тахикинины, взаимодействующие преимущественно с рецепторами типа SP-E [8, 9] и SP-K [10].

*CH<sub>3</sub>CO-pGlu-Asn-Pro-NHCH<sub>3</sub>* — трипептид, соответствующий N-концевому фрагменту филомедузина (рис. 1) — имеет в пептидной цепи только три варьируемых угла вращения, из которых угол  $\phi$  остатка Asn может принимать лишь положительные значения (состояние В). Поэтому нами были рассмотрены конформации двух пространственных форм пептидного остива — BBR и RBR.

Расчет конформационной энергии показал, что угол  $\chi_1$  остатка Asn перед пролином принимает значение 60° независимо от формы пептидного остива. Таким образом, основными варьируемыми параметрами здесь являются два угла —  $\phi$  остатка pGlu и  $\phi$  остатка Asn.

Конформации BBR и RBR практически изоэнергетичны (табл. 1), но различаются незначительно по относительному расположению пирролидоновых колец остатков pGlu и Pro. Как и в рассмотренных ранее [1] фрагментах, стабилизация структур данного трипептида осуществляется благодаря ван-дер-ваальсовым контактам между этими остатками, что зависит главным образом от взаимного расположения указанных колец.

В гидрофобном окружении для приведенных пространственных форм пептидного остива не исключена вероятность образования внутримолекулярной водородной связи с участием боковой цепи остатка Asn (рис. 2).

\* Сообщение I см. [1].

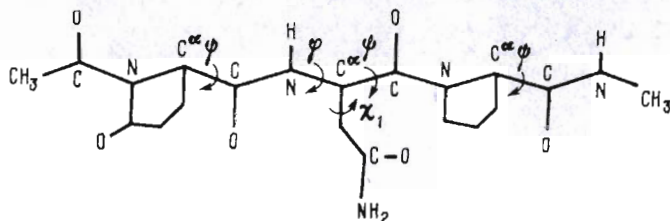


Рис. 1. Первичная структура трипептида, моделирующего N-концевой фрагмент филомедузина, с указанием варьируемых параметров

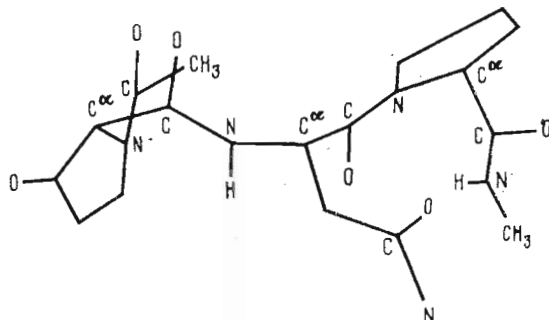


Рис. 2. Молекулярная модель трипептида  $\text{CH}_3\text{CO}-\text{pGlu}-\text{Asn}-\text{Pro}-\text{NHCN}_3$  в конформации  $\text{RB}_3\text{R}$

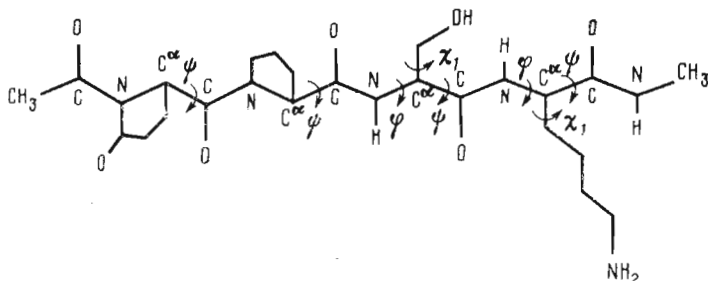


Рис. 3. Первичная структура тетрапептида, моделирующего N-концевой фрагмент эледозина, с указанием углов вращения

Однако в этом случае боковая цепь остатка Asn ориентирована в направлении либо C- ( $\chi_1 = 180^\circ$ ), либо N-конца ( $\chi_1 = -60^\circ$ ) пептидной цепи.

$\text{CH}_3\text{CO}-\text{pGlu}-\text{Pro}-\text{Ser}-\text{Lys}-\text{NHCH}_3$  — тетрапептид, моделирующий N-концевой фрагмент эледозина (рис. 3). Для этого фрагмента рассмотрены конформации следующих пространственных форм пептидного остова: BRBR, BRRR, BBBR и BBRR. Расчет показал, что все конформации пространственной формы BRRR запрещены из-за невалентных отталкиваний между пирролидоновым кольцом остатка Pro и боковой цепью остатка Lys. Остальные пространственные формы не запрещены (табл. 2), но конформации лишь одной из них — BRBR — стабилизированы дисперсионными взаимодействиями между всеми частями фрагмента, которые наиболее компактно уложены именно в этом случае. В самой предпочтительной конформации «зигзага» ( $\text{BRB}_3\text{R}$ ) возможно образование водородной связи между боковой цепью остатка Ser и N—H-группой C-концевого фрагмента  $\text{NHCH}_3$  (рис. 4).

Пространственная форма BBBR уступает конформации «зигзага» около 1 ккал/моль, поскольку в этом случае остаток pGlu практически не участвует в стабилизирующих взаимодействиях. Здесь наиболее предпочтительна конформация  $\text{BBR}_2\text{R}_1$ , в которой боковые цепи остатков Ser и Lys ориентированы в пространстве параллельно друг другу в одну и ту же сторону от плоскости пептидного остова. В этой конформации также возможно образование водородной связи, но между OH-группой боко-

**Низкоэнергетические конформации трипептида  $\text{CH}_3\text{CO}-\text{pGlu}-\text{Asn}-\text{Pro}-\text{NHCH}_3$ , моделирующего N-концевой фрагмент филомедузына**

Конформация	$E_{\text{об}}$ , ккал/моль	Углы вращения, град					
		pGlu		Asn			Pro
		$\psi$	$\varphi$	$\psi$	$\chi_1$	$\psi$	
RB <sub>2</sub> R	-9,4	-51	-120	122	63	-45	
BB <sub>2</sub> R	-8,9	140	-61	120	60	-61	
RB <sub>3</sub> R	-10,6	-64	-115	143	179	-23	
BB <sub>1</sub> R	-10,3	129	-95	130	-72	-52	

Таблица 2

**Низкоэнергетические конформации тетрапептида  $\text{CH}_3\text{CO}-\text{pGlu}-\text{Pro}-\text{Ser}-\text{Lys}-\text{NHCH}_3$ , моделирующего N-концевой фрагмент эледозина**

Конформация	$E_{\text{об}}$ , ккал/моль	Углы вращения, град							
		pGlu		Pro	Ser			Lys	
		$\psi$	$\varphi$	$\varphi$	$\psi$	$\chi_1$	$\varphi$	$\psi$	$\chi_1$
BRB <sub>3</sub> R <sub>2</sub>	-14,6	152	-34	-120	168	166	-60	-31	60
BBB <sub>2</sub> R <sub>1</sub> <sup>†</sup>	-12,0	159	143	-138	135	49	-143	-28	-60
BBR <sub>2</sub> R <sub>1</sub>	-13,9	150	142	-140	-33	51	-70	-39	-54

вой цепи остатка Ser и карбонильной группой пептидного звена остатка pGlu.

Образование аналогичной водородной связи возможно также в одной из конформаций развернутой пространственной формы — BBB<sub>2</sub>R<sub>1</sub> (табл. 2). Однако в этом случае боковые цепи остатков Ser и Lys расположены по разные стороны от плоскости пептидного остова и между собой не взаимодействуют. В конформации BBB<sub>3</sub>R<sub>1</sub> с иной ориентацией боковой цепи серина ( $\chi_1 = 180^\circ$ ) также возможно образование водородной связи, аналогичной таковой в конформации «зигзага». Независимо от конформаций боковой цепи остатка Lys все развернутые структуры тетрапептида  $\text{CH}_3\text{CO}-\text{pGlu}-\text{Pro}-\text{Ser}-\text{Lys}-\text{NHCH}_3$  характеризуются существенно более высоким значением потенциальной энергии, чем структура «зигзага».

$\text{CH}_3\text{CO}-\text{Asp}-\text{Val}-\text{Pro}-\text{Lys}-\text{Ser}-\text{NHCH}_3$  — пентапептид, моделирующий N-концевой фрагмент кассинина (рис. 5). Этот фрагмент рассмотрен в следующих пространственных формах пептидной цепи: BBBBR, RBBBR, BBBRR, RBBRR, BBRBR и BBRRR. Модельные построения и конформационный расчет показали, что пространственная форма BBRRR запрещена из-за невалентных отталкиваний между боковыми цепями остатков Val и Lys или боковой цепью валина и пептидным остовом остатка Ser. Эта форма близка по структуре  $\beta$ -изгибу на участке Pro-Lys, однако нахождение остатка Val в *i*-м положении этой разновидности вторичной структуры мало вероятно, что также препятствует ее реализации [11].

Конформации развернутых форм BBBBR и RBBBR нельзя признать удовлетворительными по величине потенциальной энергии (табл. 3). Боковые цепи соседних вдоль пептидной цепи остатков в конформациях B<sub>2</sub>B<sub>1</sub>BB<sub>2</sub>R<sub>1</sub> и R<sub>2</sub>R<sub>1</sub>BB<sub>2</sub>R<sub>1</sub> ориентированы в противоположные стороны относительно плоскости пептидного остова и не вступают в стабилизирующие контакты друг с другом.

Немного предпочтительнее конформации пространственных форм BBBRR и RBBRR (табл. 3). В этих конформациях боковые цепи остатков Lys и Ser ориентированы одинаково относительно плоскости пептидного остова и могут приводить к стабилизирующим взаимодействиям, как и остатки Asp и Val в пространственных формах RBBRR и BBBBR. Очевид-

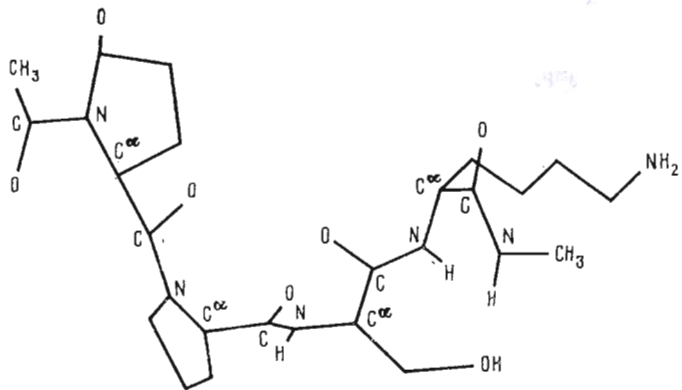


Рис. 4. Молекулярная модель тетрапептида  $\text{CH}_3\text{CO}-\text{pGlu}-\text{Pro}-\text{Ser}-\text{Lys}-\text{NHCH}_3$  в низкоэнергетической конформации  $\text{R}_2\text{BR}_1\text{RB}_2\text{R}_1$

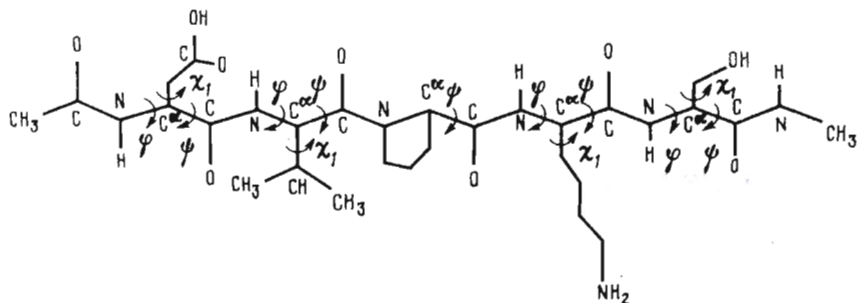


Рис. 5. Первичная структура пентапептида, моделирующего N-концевой фрагмент кассинина, с указанием углов вращения

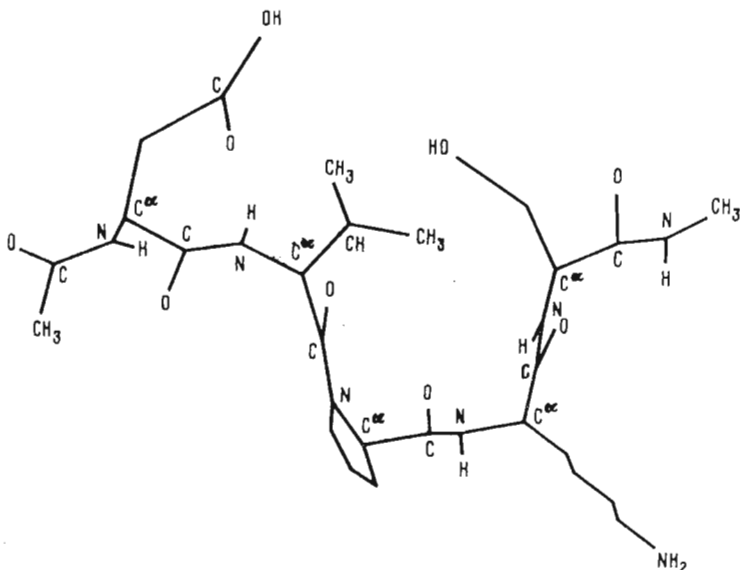


Рис. 6. Молекулярная модель пентапептида  $\text{CH}_3\text{CO}-\text{Asp}-\text{Val}-\text{Pro}-\text{Lys}-\text{Ser}-\text{NHCH}_3$  в низкоэнергетической конформации  $\text{R}_2\text{B}_1\text{RB}_2\text{R}_1$

но, что энергетически наиболее предпочтительны конформации той пространственной формы ( $\text{RBRBR}$ ), в стабилизации которой участвует большинство остатков, их боковых радикалов. Так, в конформации  $\text{R}_2\text{B}_1\text{RB}_2\text{R}_1$  (рис. 6) боковые цепи остатков ориентированы в пространстве таким образом, что приводят к наиболее эффективным средним дисперсионным взаимодействиям. Кроме того, эта конформация может быть стабилизирована водородной связью между боковыми цепями остатков Asp и Ser.

Таблица 3

Низкоэнергетические конформации пентапептида  $\text{CH}_3\text{CO}\text{-Asp-Val-Pro-Lys-Ser-NHCH}_3$ , моделирующего N-концевой фрагмент кассинина

Конформация	$E_{\text{об}}$ , ккал/моль	Углы вращения, град														
		Asp			Val			Pro			Lys			Ser		
		$\varphi$	$\psi$	$\chi_1$	$\varphi$	$\psi$	$\chi_1$	$\varphi$	$\psi$	$\chi_1$	$\varphi$	$\psi$	$\chi_1$	$\varphi$	$\psi$	$\chi_1$
R <sub>2</sub> B <sub>1</sub> RB <sub>2</sub> R <sub>1</sub>	-18,1	-109	-40	51	-120	125	-60	-66	-113	120	59	-80	-30	-75		
R <sub>2</sub> B <sub>1</sub> BB <sub>2</sub> R <sub>1</sub>	-14,0	-111	-43	55	-119	131	-58	122	-116	126	61	-77	-41	-62		
R <sub>2</sub> B <sub>1</sub> BR <sub>2</sub> R <sub>1</sub>	-14,5	-115	-44	52	-124	129	-64	130	-120	-60	60	-119	-60	-61		
b <sub>2</sub> b <sub>1</sub> BR <sub>2</sub> R <sub>1</sub>	-12,1	-131	146	63	-130	135	-53	141	-119	-56	62	-121	-55	-59		
B <sub>2</sub> B <sub>1</sub> BB <sub>2</sub> R <sub>1</sub>	-11,6	-77	156	57	-75	151	-61	156	-80	152	58	-73	-49	-60		

Таблица 4

Низкоэнергетические конформации трипептида  $\text{CH}_3\text{CO}\text{-His-Lys-Thr-NHCH}_3$ , моделирующего N-концевой фрагмент нейрокинина А

Конформация	$E_{\text{об}}$ , ккал/моль	Углы вращения, град									
		His			Lys			Thr			
		$\varphi$	$\psi$	$\chi_1$	$\varphi$	$\psi$	$\chi_1$	$\varphi$	$\psi$	$\chi_1$	
R <sub>2</sub> R <sub>2</sub> R <sub>1</sub>	-13,7	-60	-47	62	-58	-50	59	-61	-48		-58
B <sub>3</sub> R <sub>3</sub> R <sub>2</sub>	-12,6	-108	121	170	-119	-60	177	-120	-46		40
R <sub>2</sub> B <sub>2</sub> R <sub>2</sub>	-12,1	-87	-30	47	-108	131	60	-109	-60		60
B <sub>3</sub> B <sub>1</sub> R <sub>3</sub>	-11,4	-117	120	161	-129	135	-49	-117	-50		172

Кроме рассмотренных тахикининов у млекопитающих обнаружены еще два пептида — нейрокинины А и В, N-концевые фрагменты которых не содержат остатков с цирролидоновыми кольцами. Нейрокинины также относятся к тахикининам, о чем, в частности, свидетельствует C-концевая последовательность (табл. 1 в [1]). Соответственно в периферийных тканях млекопитающих обнаружен тахикининовый рецептор третьего типа [10], который связывает преимущественно нейрокинин А; по отношению к этому рецептору тахикинини располагаются в следующий «аффинный ряд»: SK  $\gg$  Kass  $\gg$  El  $>$  NK  $>$  SP  $>$  Phys [1, 10].

$\text{CH}_3\text{CO}\text{-His-Lys-Thr-NHCH}_3$  — трипептид, моделирующий N-концевой фрагмент нейрокинина А (рис. 7). Этот фрагмент рассмотрен в следующих пространственных формах пептидной цепи: RRR, RBR, BRR, BBR.

Анализ спиральной формы RRR показывает, что структура с высокими значениями углов  $\varphi$  ( $\sim -120^\circ$ ) не может реализоваться, поскольку в этом случае из-за малой величины шага спирали пептидные звенья крайних остатков (здесь  $\text{CH}_3\text{CO}$  и  $\text{NHCH}_3$ ) вступают между собой в невалентные отталкивания. Для этой пространственной формы оптимальна структура традиционной  $\alpha$ -спирали (при значениях углов  $\varphi = -60^\circ$ ), стабилизированная водородной связью между упомянутыми пептидными звеньями. В энергетически наиболее предпочтительной конформации R<sub>2</sub>R<sub>2</sub>R<sub>1</sub> боковые цепи остатков His и Lys контактируют между собой, что дополнительно стабилизирует эту структуру. Вместе с тем для остатка Thr значение угла  $\chi_1$   $60^\circ$  запрещено из-за чрезмерной близости его боковой цепи с пептидным остовом C-концевого остатка  $\text{NHCH}_3$ . Для остатка Thr в конформации  $\alpha$ -спирали также запрещено значение угла  $\chi_1$   $180^\circ$ . Это обусловлено пространственной близостью метильных групп боковой цепи остатка Thr и N-концевого остатка  $\text{CH}_3\text{CO}$ , недопустимой по невалентным взаимодействиям.

В полусвернутой форме BRR при переходе со спиральной RRR-формой наблюдается изменение углов пептидного остова от низких (более «напряженных») к более высоким значениям (табл. 4), в результате чего получается ковшобразная структура. В оптимальной конформации B<sub>3</sub>R<sub>3</sub>R<sub>2</sub>

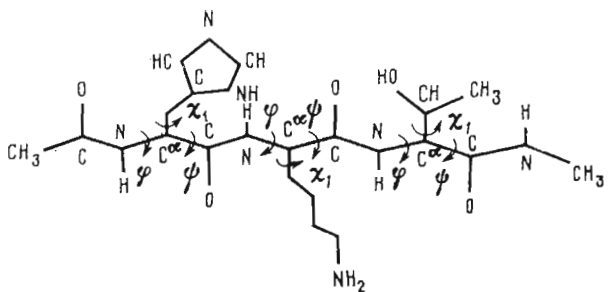


Рис. 7. Первичная структура трипептида, моделирующего N-концевой фрагмент нейрокинина А, с указанием варьируемых параметров

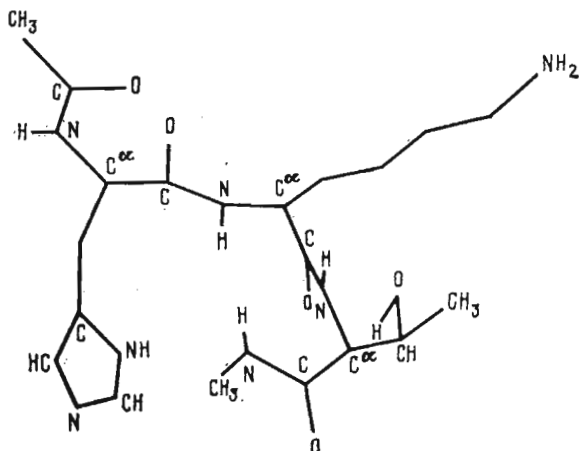


Рис. 8. Молекулярная модель трипептида  $\text{CH}_3\text{CO}-\text{His}-\text{Lys}-\text{Thr}-\text{NHCH}_3$  в низкоэнергетической конформации  $\text{B}_3\text{R}_3\text{R}_2$

(рис. 8) она стабилизирована ван-дер-ваальсовыми взаимодействиями между имидазольным кольцом боковой цепи остатка His и пептидным звеном остатка Thr ( $E = -2,1$  ккал/моль), плоскости которых параллельны друг другу при значении угла  $\chi_1$   $180^\circ$  остатка His. В приведенной конформации боковые цепи соседних остатков Lys и Thr располагаются по одну сторону от плоскости пептидного остова и также приводят к стабилизирующим дисперсионным взаимодействиям.

В пространственной форме BBR на одной стороне от плоскости пептидного остова оказываются боковые цепи крайних остатков His и Thr. Несмотря на удаленность, они при определенных значениях углов вращения могут сближаться до неожелательных ван-дер-ваальсовых контактов, destabilizирующих структуру. В оптимальной конформации  $\text{B}_3\text{B}_1\text{R}_2$  (табл. 4) имидазольное кольцо остатка His при значении угла  $\chi_1$   $180^\circ$  ориентировано в сторону С-конца пептидной цепи и приводит к дисперсионным взаимодействиям с остатком Thr. Этому способствует не только значение угла  $\chi_1$   $180^\circ$  остатка Thr, но и значения углов  $\phi$  и  $\psi$  пептидного остова. В то же время боковая цепь остатка Lys, расположенная по другую сторону от пептидного остова (относительно боковых цепей остатков His и Thr), ориентирована в сторону N-конца при значении угла  $\chi_1$   $-60^\circ$  и также участвует в стабилизирующих взаимодействиях.

Разворнутая конформация с углами  $\phi$ ,  $\psi$  пептидного остова, близкими их значениям в спирали типа poly(Pro)II, менее стабилизирована из-за большей изолированности боковых цепей всех остатков [12, 13].

В конформациях полусвернутой пространственной формы пептидного остова другого типа, RBR, в отличие от конформаций типа BRR по одну сторону от пептидной цепи оказываются боковые радикалы остатков His и Lys. Их взаимная ориентация и определяет главным образом предпо-

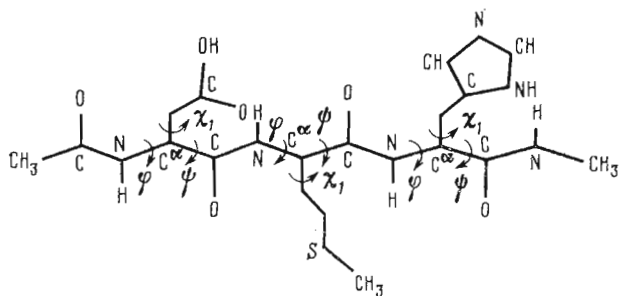


Рис. 9. Первичная структура трипептида, моделирующего N-концевой фрагмент нейрокинина В, с указанием углов вращения

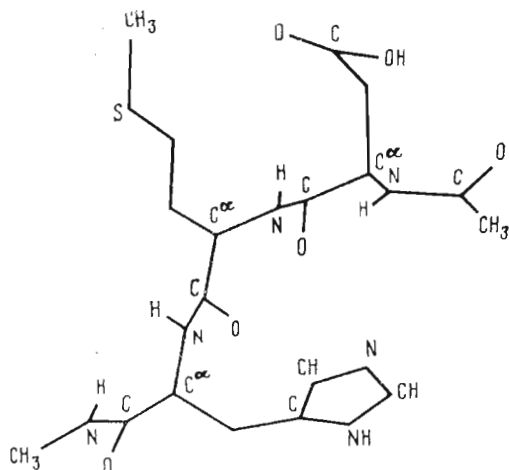


Рис. 10. Молекулярная модель трипептида  $\text{CH}_3\text{CO}-\text{Asp}-\text{Met}-\text{His}-\text{NHCH}_3$  в низкоэнергетической конформации  $\text{R}_2\text{B}_1\text{R}_1$

чтительность оптимальной конформации. Расчет показывает, что таковой является конформация  $\text{R}_2\text{B}_1\text{R}_1$  (табл. 4) с наиболее эффективными дисперсионными взаимодействиями между боковыми цепями указанных остатков ( $E = -2,0$  ккал/моль). Боковая цепь остатка Thr ориентирована в этом случае в противоположную сторону от плоскости пептидного остова (относительно боковых цепей гистидина и лизина) и при значении угла  $\chi_1$   $60^\circ$  также участвует в стабилизировании структуры, вступая в дисперсионные контакты с N-концевой группой  $\text{CH}_3\text{CO}$ .

$\text{CH}_3\text{CO}-\text{Asp}-\text{Met}-\text{His}-\text{NHCH}_3$  — трипептид, моделирующий N-концевой фрагмент нейрокинина В (рис. 9) — был рассмотрен в конформациях следующих пространственных форм: RRR, RBR, BRR, BBR. Отсутствие пирролидоновых колец в данной аминокислотной последовательности позволяет допустить возможность образования  $\alpha$ -спиральной структуры, которая моделируется пространственной формой RRR (табл. 5).

Таблица 5

Низкоэнергетические конформации трипептида  $\text{CH}_3\text{CO}-\text{Asp}-\text{Met}-\text{His}-\text{NHCH}_3$ , моделирующего N-концевой фрагмент нейрокинина В

Конформация	$E_{\text{об}}$ , ккал/моль	Углы вращения, град								
		Asp			Met			His		
		$\phi$	$\psi$	$\chi_1$	$\phi$	$\psi$	$\chi_1$	$\phi$	$\psi$	$\chi_1$
$b_2\text{R}_3\text{R}_1$	-8,3	-129	165	64	-120	-38	166	-91	-40	-61
$\text{R}_1\text{R}_3\text{R}_1$	-9,1	-130	-52	-58	-61	-47	177	-58	-48	-60
$\text{R}_3\text{B}_1\text{R}_1$	-9,0	-128	-39	190	-113	120	-51	-120	-34	-60
$\text{B}_1\text{B}_3\text{R}_1$	-8,0	-116	136	-58	-120	127	176	-120	-36	-58

Оптимальная конформация  $\alpha$ -спирали  $R_1R_3R_1$  (табл. 5) стабилизирована для данной последовательности ван-дер-ваальсовыми взаимодействиями между боковыми цепями остатков Met и His при значениях углов  $\chi_1$  соответственно  $180^\circ$  и  $-60^\circ$ , а также водородной связью между пептидными звеньями крайних остатков ( $CH_3CO$  и  $NHCH_3$ ). Ориентация имидазольного кольца остатка His со значением угла  $\chi_1$   $60^\circ$  запрещена из-за невалентных отталкиваний с N-концевой группой  $CH_3CO$ . Комбинация значений углов  $\chi_1$   $-60^\circ$  и  $60^\circ$  соответственно у остатков His и Met также недопустима по стереохимическим причинам. Вращение вокруг связи  $C^\alpha - C^\beta$  остатка Asp практически ничем не ограничено.

Ковшевидная пространственная форма RBR характеризуется тем, что боковые цепи двух соседних вдоль пептидного остова остатков (Asp и Met) располагаются по одну сторону от плоскости пептидной цепи, а боковой радикал третьего остатка (имидазольное кольцо гистидина) — по другую. Их взаимная ориентация и определяет предпочтительность той или иной конформации. Так, в конформациях  $R_1B_2R_2$  или  $R_1B_2R_3$  ван-дер-ваальсовые контакты между боковыми цепями наименее эффективны, поскольку в этом случае они максимально удалены друг от друга. Напротив, в оптимальной конформации  $R_3B_1R_3$  этой пространственной формы (рис. 10) невалентные взаимодействия служат фактором, достаточно эффективным для стабилизации структуры: с одной стороны, взаимная ориентация боковых цепей остатков Asp и Met удовлетворяет критерию ван-дер-ваальсовых контактов, с другой — плоскость имидазольного кольца гистидина параллельна плоскости планарного пептидного звена остатка His и удалена от него на расстоянии, равном сумме ван-дер-ваальсовых радиусов взаимодействующих атомов, что также способствует стабилизации структуры.

В конформациях развернутой пространственной формы BBR боковые цепи остатков, соседних вдоль пептидной цепи, ориентированы в противоположные стороны относительно плоскости пептидного остова, а по одну сторону от пептидной цепи располагаются боковые радикалы остатков  $i$  и  $i + 2$  [11].

В данной аминокислотной последовательности оптимальной конформации  $B_1B_3R_1$   $\beta$ -структурного тяжа отвечает ориентация имидазольного кольца гистидина при значении угла  $\chi_1$   $-60^\circ$ . Именно при такой ориентации боковой цепи этого остатка плоскость имидазольного кольца сближена до благоприятных ван-дер-ваальсовых контактов с плоским пептидным звеном остатка Asp, как и в случае рассмотренной выше конформации  $R_3B_1R_1$ . Однако в отличие от этой полусвернутой конформации в этом случае имидазольное кольцо ориентировано со стороны боковой цепи остатка Asp и налагает ограничения на свободу вращения вокруг связи  $C^\alpha - C^\beta$  последнего: угол  $\chi_1$  остатка Asp может принимать значение  $-60^\circ$ . С другой стороны от плоскости пептидного остова боковая цепь метионина вступает в дисперсионные взаимодействия с остатком  $NHCH_3$ , что также способствует стабилизации конформации  $B_1B_3R_1$ .

В отличие от пространственной формы RBR в другой полусвернутой форме BRR по одну сторону от плоскости пептидного остова оказываются боковые цепи остатков Met и His. В противоположную сторону ориентированы боковая цепь остатка Asp и C-концевой остаток  $NHCH_3$ . Такая попарная взаимная ориентация этих групп приводит к дисперсионным взаимодействиям между ними и, таким образом, служит фактором, стабилизирующим эту ковшевидную структуру. Эффективность ван-дер-ваальсовых взаимодействий в этом случае в большой степени зависит от значений углов вращения в боковых цепях, и прежде всего их главных переменных  $\chi_1$ . Так, в оптимальной конформации  $b_2R_3R_1$  (табл. 5) боковые цепи остатков Met со значением угла  $\chi_1$   $180^\circ$  и His со значением угла  $\chi_1$   $-60^\circ$  располагаются в пространстве параллельно друг другу и на всем протяжении эффективно взаимодействуют между собой.

Таким образом, для N-концевых фрагментов рассмотренных тахикининовых пептидов (см. также [1]) характерны конформационно гибкие пространственные формы пептидного остова, энергетически мало отличаю-

щиеся друг от друга. Можно допустить, что полученные путем расчета конформации конкретного N-концевого фрагмента изоэнергетичны и с равной вероятностью могут быть реализованы в соответствующем тахикининовом пептиде. Поскольку N-концевые фрагменты тахикининов не принимают  $\alpha$ -спиральную конформацию, мало вероятно, чтобы они смогли преодолеть гидрофобную фазу двойного липидного слоя клеточной мембранны и участвовать в связывании с рецептором. Поэтому не исключено, что и после связывания тахикининов с рецепторами их N-концевые последовательности могут находиться в различных конформациях.

Учитывая возможность связывания разных тахикининовых пептидов одним и тем же рецептором, следует признать, что участие в этом процессе различающихся N-концевых последовательностей оказалось бы значительное влияние на тахикинин-рецепторные взаимодействия в смысле роста их специфичности. Что же касается разной степени сродства тахикининов к одному и тому же рецептору, этот феномен может быть обусловлен, хотя и не многими, но, по-видимому, достаточными, различиями в аминокислотной последовательности их C-концевых фрагментов.

#### СПИСОК ЛИТЕРАТУРЫ

1. Аванов А. Я. // Биоорган. химия. 1991. Т. 17. № 5. С. 637—646.
2. Blumberg S., Teichberg V. I. // Biochem. and Biophys. Res. Commun. 1979. V. 90. № 1. P. 347—354.
3. Teichberg V. I., Cohen S., Blumberg S. // Regulatory Peptides. 1981. V. 1. № 5. P. 327—333.
4. Bar-Shavit Z., Goldman R., Stabinsky Y., Gottlieb P., Fridkin M., Teichberg V. I., Blumberg S. // Biochem. and Biophys. Res. Commun. 1980. V. 94. № 4. P. 1445—1451.
5. Johnson A. R., Erdös R. G. // Proc. Soc. Exptl Biol. and Med. 1973. V. 142. № 4. P. 1252—1256.
6. Beaujouan J. C., Torrens Y., Herbert A., Daguet M. C., Glowinski J., Prochiantz A. // Mol. Pharmacol. 1982. V. 22. № 1. P. 48—55.
7. Harada Y., Takahashi T., Kuno M., Nakayama K., Masu Y., Nakanishi S. // J. Neurosci. 1987. V. 7. № 10. P. 3265—3273.
8. Sandberg B. E. B., Iversen L. L. // J. Med. Chem. 1982. V. 25. № 9. P. 1009—1015.
9. Quirion R., Shults C. W., Moody T. W., Pert C. B., Chase T. N., O'Donohue T. L. // Nature. 1983. V. 303. № 5919. P. 714—716.
10. Buck S. H., Burcher E., Shults C. W., Lovenberg W., O'Donohue T. L. // Science. 1984. V. 226. № 4677. P. 987—989.
11. Venkatachalam G. M. // Biopolymers. 1968. V. 6. № 10. P. 1425—1436.
12. Ramachandran G. M., Sasisekharan V. // Adv. Prot. Chem. 1968. V. 23. P. 283—438.
13. Rippón W. B., Walton A. G. // Biopolymers. 1971. V. 10. P. 1207—1212.

Поступила в редакцию  
3.VIII.1990

A. J. AVANOV

#### CONFORMATIONAL ANALYSIS OF TACHIKININS.

#### II. N-TERMINAL FRAGMENTS OF PHYLOMEDUSIN, ELEDOSIN, KASSEININ AND NEUROKININS

Institute of Biochemistry, Academy of Sciences  
of the Armenian SSR, Yerevan

Theoretical conformational analysis of N-terminal sequences of the title fragments suggested, similarly to fragments of other tachikinins, their high conformational flexibility, with no conformational state prevailing.